

台灣梅雨豪雨實驗（1997-1998 年）密集觀測之天氣類型分析

紀 水 上
中央氣象局

摘 要

1997-1998 年梅雨季，導致台灣地區豪（大）雨之天氣類型大致可分成：強綜觀鋒面型、鋒面與南方擾動共伴型、低壓環流型、上滑型和弱綜觀強迫型等五類。上述各型中以鋒面型最易引發豪雨，其發生豪雨之有利條件包括：鋒面在台灣上空或附近、850hPa 風切線存在、露點大於 15°C 、 θ_e 主軸指向台灣或 700hPa 溫度與露點差小於 3°C 、高層 $300/200\text{hPa}$ 出現分流以及不穩定度存在 ($TTI > 40$, $KI > 35$) 等必要條件。

1997 年第一次 IOP 個案分析顯示，在華南及台灣地區之 MCSs 之移動有三種不同移動型式，即：向上游（西）發展後緩慢東移、向東南移動並消失於台灣海峽南部和向東至東南東移而影響台灣。控制其移動型式之環境條件包括 θ_e 脊軸、 $1000-500\text{hPa}$ 厚度和高空氣流型式。梅雨鋒面、中尺度低壓和台灣地形之抬升在影響台灣地區 MCSs 之形成、加強和移動扮演相當重要的角色。

水氣雲圖之最大水氣區和水氣羽分別與中南半島之 θ_e 最大區和源自中南半島之 θ_e 脊軸有甚大的相關，且均在 MCSs 之形成和加強扮演重要的角色。

一、前言

豪雨預報是當今困難但具挑戰性的一個課題，因它牽連全球尺度、綜觀尺度、中尺度以及對流尺度等多尺度天氣系統 (multi-scale weather systems) 及其彼此間交互作用等複雜關係。此等系統中，較大尺度的天氣系統有為較小尺度者提供形成與加強之環境條件，而較小尺度則可透過上升運動釋放潛熱而影響較大尺度的環境 (Chi and Scofield, 1991)。因此，欲了解導致區域性豪（大）雨之中尺度對流系統 (Mesoscale Convective Systems 簡稱 MCSs) 的形成、加強和所處的氣象條件的類型是必要的。1997 年和 1998 年梅雨季（5-6 月）實施「豪雨預報」的預實驗和實驗目的就在為增加此種天氣系統之了解。

本文針對上述兩年實驗期間的十二個密集觀測 (Intensive Observational Period；簡稱 IOP) 進行分析，以建立其所伴隨之衛星雲系特徵及天氣類型，藉以驗證及補充謝等 (1994) 和謝 (1996) 所建立梅雨季台灣地區 豪（大）雨綜觀天氣類型。此外，本文詳細分析 1997 年第一次 IOP 期間 MCSs 之形成、移動與消散過程之環境條件，希望建立梅雨季中尺度對流系統分析流程及 MCSs 不同移動形式之天氣型，以提供本實驗期間其他 IOP/MCSs 分析之範例和預報作業參考。

二、資料

本文目的在探討 1997-1998 年台灣梅雨豪雨實驗密集觀測期間之天氣類型和分析 1997 年第一次 IOP

期間 MCSs 之形成、移動與消散過程之環境條件，所用資料包括地面至 200hPa 之各層天氣圖、逐時紅外線和水氣頻道衛星雲圖，以及 850hPa 相當位溫 (θ_e) 和 $1000-500\text{hPa}$ 厚度等導出場和不穩定度指數(總指數和 K 指數) 等導出場。

三、1997-1998 年梅雨季豪（大）雨之天氣類型

上述 12 個 IOP 之天氣類型大致可分成五類，即：
(1) 強綜觀鋒面型；(2) 鋒面與南方擾動共伴型；(3) 低壓環流型；(4) 上滑型 (overrunning type)，和 (5) 弱綜觀強迫型等。上述各型中，強綜觀鋒面型及鋒面與南方擾動共伴型發生機會最多，各佔 40%，低壓環流型及弱綜觀型發生機會較少，分別佔 12% 及 8%。強綜觀鋒面型依其發生先後、移動特徵、環流型式及雲系特徵等又分為 A、B 和 C 三型。圖 1 為上述各類型之綜觀合成圖。

在強綜觀鋒面型中，A 型（圖 1a-1）之地面鋒面快速向東南東移動， 850hPa 風切線平行且緊落於鋒後，鋒前經常出現低層噴流 (Low-level Jet 簡稱 LLJ)， 500hPa 槽線與鋒面近似垂直並超前， $300/200\text{hPa}$ 之高對流層為明顯的西北流，但分流微弱或不明顯。雲系以中-β 尺度對流系統在鋒面附近產生，台灣海峽上空之線狀對流為其特徵。B 型（圖 1a-2）所伴隨之綜觀型式與 A 型（參見圖 1a-1）類似，但地面鋒面向東北移動。 500hPa 之北方與南來自孟加拉灣氣流在台灣地區匯合，槽線與鋒面近似平行並落在鋒後，雲系寬廣水平範圍拉長， $300/200\text{hPa}$ 西南氣流明顯且有微弱分

流。C 型之天氣形式與鋒面 B 型者(如圖 1a-3)類似，但地面鋒面近似滯留，850hPa 風切線與鋒面平行且緊落在鋒後，500hPa 有一濬深槽與鋒面近似平行，300/200hPa 之槽線在台灣西北方而有明顯的分流。雲系不斷在福建、廣東沿海形成後東移影響台灣。

鋒面與南方擾動共伴型(圖 1b)與鋒面 C 型類似，唯對流及水氣主要來自南方熱帶洋面，500hPa 顯示，鋒面北方有短槽移出，明顯的南支槽在南海附近，提供源源不斷的旺盛西南氣流，300/200hPa 槽線在台灣西北方，台灣及鄰近地區有明顯的分流。台灣附近鋒面雲系與南方熱帶雲簇間產生交互作用，而在台灣地區引發深對流。低壓環流型(圖 1c)，在台灣地區，地面上存在有一微弱低壓，850hPa 至 500hPa 均有明顯的氣旋式低壓環流存在，300/200hPa 為西南氣流而無

分流。雲系在低壓東側形成後影響台灣東部地區。上滑型的綜觀天氣形勢(如圖 1d)，850hPa 風切線落在地面鋒面後方一段距離，兩者均呈東-西向，低層以偏南風至南南西風，有時有 LLJ 存在，300/200hPa 之槽線在台灣東北方，台灣地區有微弱分流。對流發展不高但範圍很廣，降水大部分是層狀暖雲降水，雖降水強度不大，但降水時間長。弱綜觀強迫型(如圖 1e)，此類型與鋒面無關，鋒面可能在台灣北方或更遠處，850hPa 可能或可能不存在 LLJ。500hPa，在其上游可能為一脊場或有一微弱槽線存在，西南氣流活躍，台灣及鄰近地區之 300/200hPa 有明顯的反氣旋式環流但無明顯的分流。此類型可能因差異加熱/地形抬升所引起。

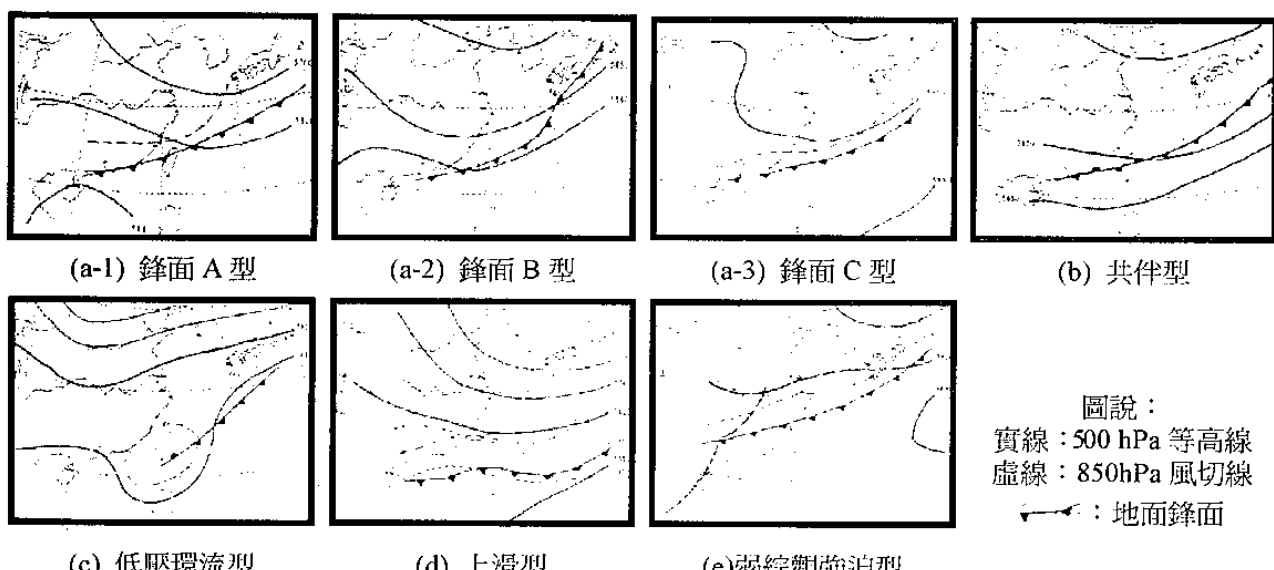


圖 1 梅雨季台灣地區豪（大）雨綜觀合成天氣圖（資料時間：1997-1998 年）。

不穩度指數（如總指數和 K 指數）和低對流層濕度（如 850hPa 露點和相當位溫）亦經分析（圖未示）。綜合上述分析顯示，上述各型中以鋒面型最易引發豪雨，該型發生豪雨之有利條件包括：鋒面在台灣上空或附近、850hPa 風切線存在、露點大於 15°C 、 θ_e 主軸指向台灣或 700hPa 溫度與露點差小於 3°C 、高層 300/200hPa 出現分流以及不穩定度存在($\text{TTI} > 40$, $\text{KI} > 35$)等必要條件。

四、1997 年第一個 IOP (5 月 16-17 日) 之天氣形勢分析

逐時衛星雲圖（圖未示）顯示，5 月 16-17 日在華南至台灣地區伴隨梅雨鋒面之 MCSs 有三種不同移動型式，在東段者向東至東南東移而影響台灣；在西者向上游（西）發展後緩慢東移但未影響台灣；而在中間者向東南移動並消失於台灣海峽南部。以下將自全

球尺度(如 connection 和相當位溫分布)、綜觀尺度(如厚度型式等)、中尺度(如天氣形勢)至對流尺度(MCSs 的移動和加強)等說明此 IOP 期間 MCSs 之演變情形。

(一) 全球尺度

1997 年 5 月 16-17 日 00 和 12UTC 之紅外線色調強化雲圖(參見圖 4 及圖 5)、水氣雲圖和疊加 850hPa 風場之相當位溫分布(圖 2 及 3)顯示，衛星雲圖與低層相當位溫分布有很好的相關，尤其是水氣雲圖。水氣雲圖顯示，中南半島有最大水氣區，該區與 850hPa 之 θ_e 最大區一致，水氣源自中南半島之最濕區向東至東北東伸展，此種東西走向之濕度邊界稱之為水氣羽(water vapor plume；簡稱 WVP)。該水氣羽與 θ_e 脊輻一致且 MCSs 羽區發展。Chi and Scofield (1991) 稱此種於自中南半島之水氣邊界為“Bay of Bengal Connection”。

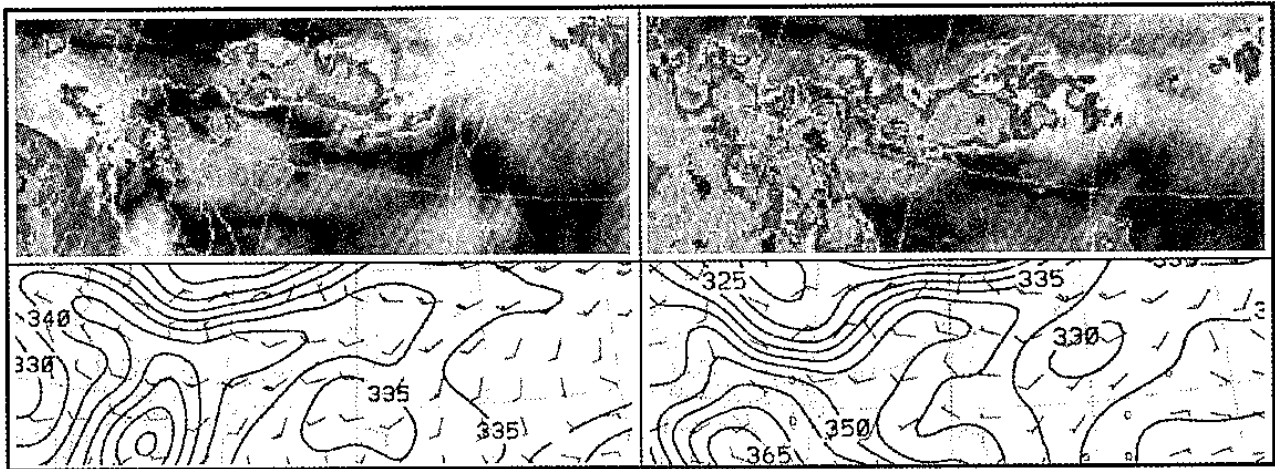


圖 2 1997 年 5 月 16 日 00UTC (左) 和 12UTC 右) 之水氣雲圖 (上) 和疊加 850hPa 風場之相當位溫分布 (下)。

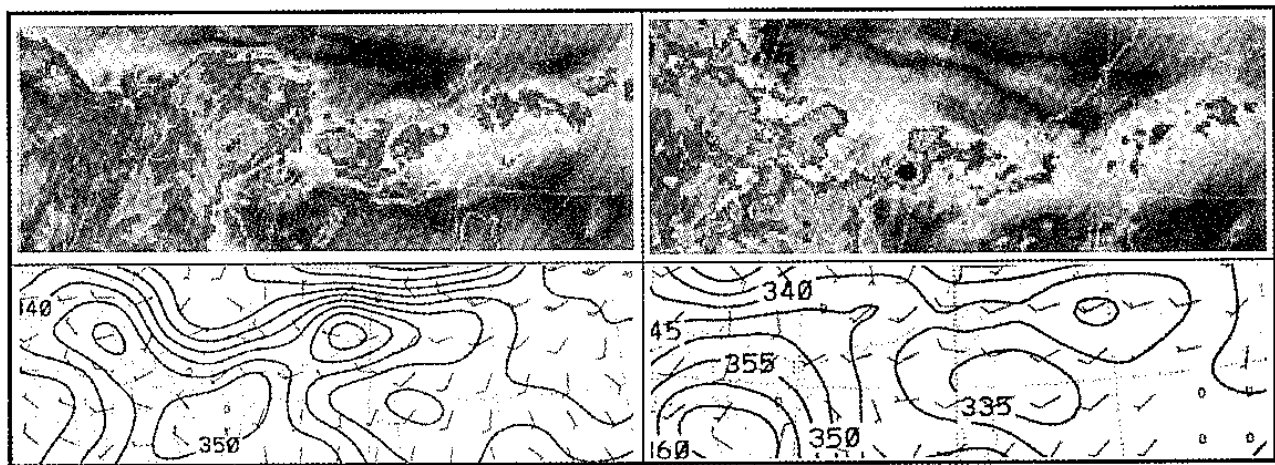


圖 3 同圖 2，但為 5 月 17 日。

圖 2 和圖 3 又顯示，東西走向之水氣羽伴隨著 θ_e 脊軸南移，對流雲帶也隨著南移，於 16 日 12UTC 進入台灣北部，17 日 00UTC 篩罩台灣全省，影響台灣之 MCSs 在台灣西方之水氣羽最強區形成且沿著羽區東移影響台灣。水氣羽於 17 日間過境台灣且減弱，台灣地區之對流也隨之減弱，顯然水氣羽在 MCSs 之形成與加強扮演重要的角色。

雖然 θ_e 這種水氣邊界在 MCSs 之演變扮演重要角色，但其差的時間解析度 (12 小時) 無法闡釋此種時間尺度短和空間尺度小的對流系統，地球同步衛星則可彌補此種缺陷，因它可提供半小時 (如美國的 GOES 衛星) 或一小時 (如日本的 GMS 衛星) 水氣雲圖，因此水氣雲圖在 MCSs 演變之分析與預報可提供甚有價值的資訊。

(二) 總觀尺度

前已敘及本 IOP 之 MCSs 之移動型式有三，本節將探討何種大氣環境主宰這些 MCSs 的移動。此三組 MCSs 別在 115°E 以西之華南地區、廣東東部沿海及福建沿海至台灣地區。圖 4 和圖 5 為 1000-500hPa 厚

度和其相鄰時間的衛星雲圖。厚度圖顯示，16 日分流區在 105°E 以東之華南區，之後東移至台灣鄰近地區並減弱。最西之 MCSs 群首先位在該明顯的厚度之分流區而向上游 (西) 發展或向東緩慢移動。在中間之 MCSs 形成時介於 16 日 12 UTC 和 17 日 00UTC 之間，厚度型式由微弱分流轉為東西走向，該 MCSs 在此微弱分流區和東西走向的厚度梯度南側而緩慢向東南移動。而在台灣地區之 MCSs 在微弱分流區而由向上游發展的情形。顯然厚度型式與 MCSs 之移動有密切關係。

(三) 中尺度

1997 年 5 月 16 日 1200UTC 至 17 日 1200UTC 之各層天氣圖 (圖未示) 亦經分析，上述三個 MCSs 形成和加強區之環境條件均存在著低層鋒面 (地面和 850hPa) 和鋒前噴流 (850-700hPa)、中層 (500hPa) 短波槽和高層 (300-200hPa) 分流。當系統離開此等條件後就減弱甚至消散。300-200hPa 天氣圖 (圖未示) 顯示，在西北氣流區之 MCSs 向東南移動，顯然高對流層風場在 MCSs 之移動扮演重要角色。

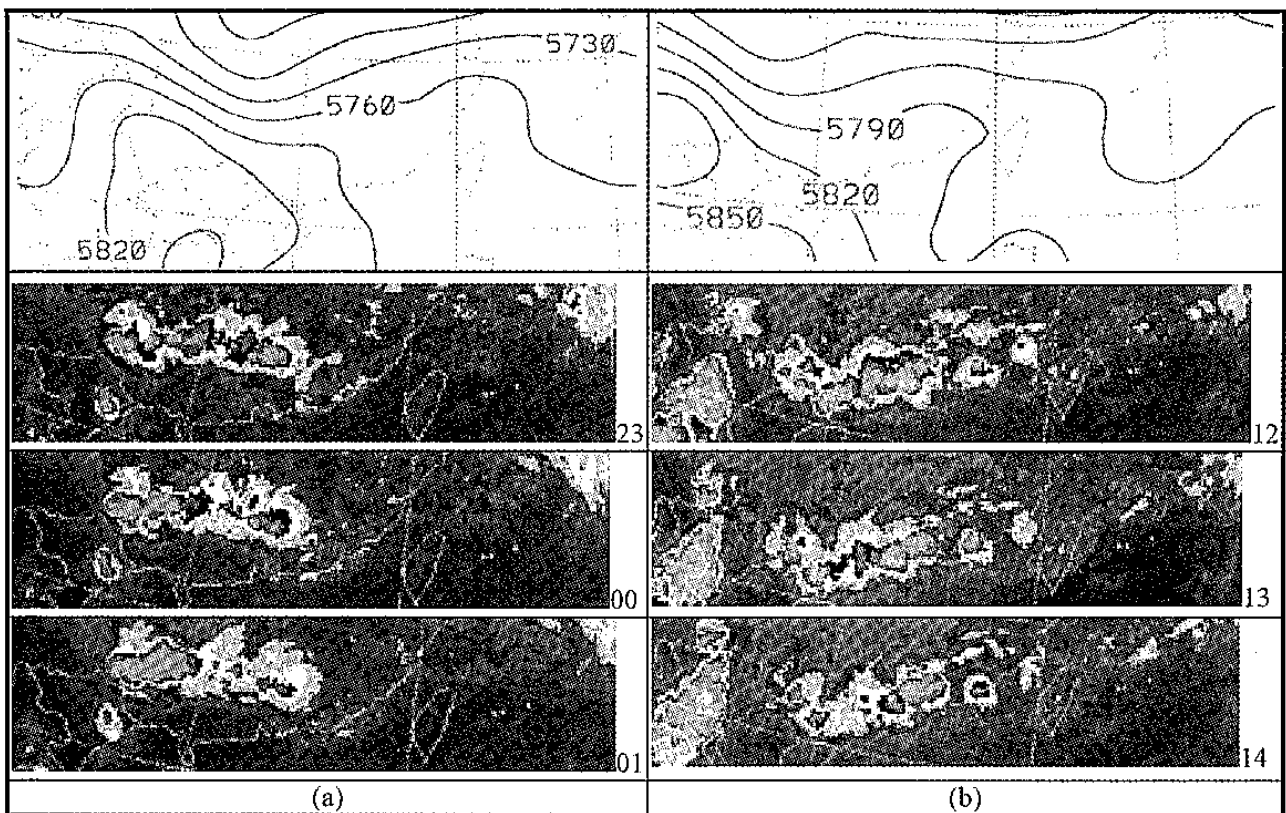


圖 4 1997 年 5 月 16 日 00UTC (左) 和 12UTC (右) 之 1000-500hPa 厚度分析和與厚度圖時間相鄰之逐時紅外線色調強化雲圖。

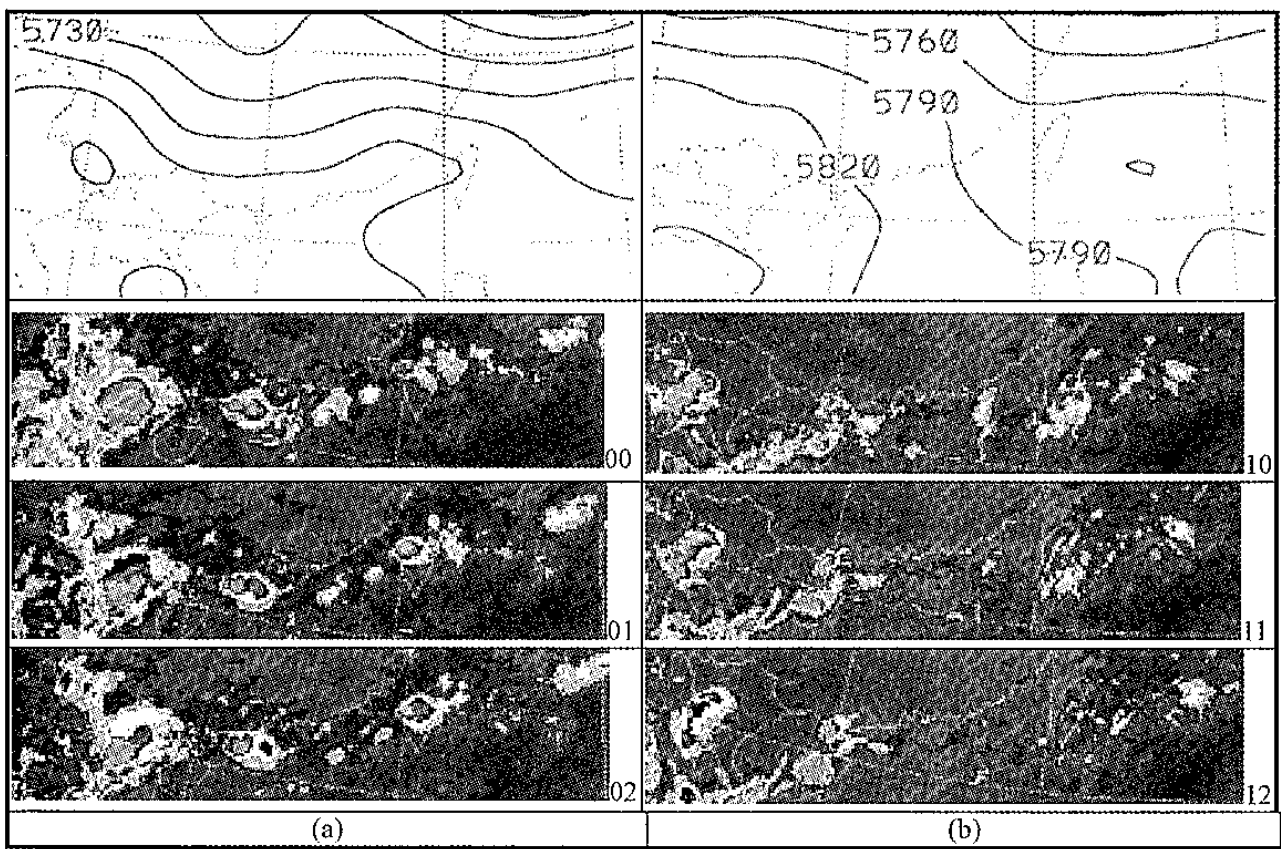


圖 5 同圖 4，但為 5 月 17 日。

發生在中間之 MCSs 隨著高層西北流東南移，因移至台灣海峽 500hPa 之分流區、850hPa 脊區和因 850hPa 因台灣地形導致之西北偏向流 (deflecting

flow) 區減弱後消散。而在台灣地區之 MCSs 將於下節作進一步說明。

(四) 對流尺度

逐時衛星雲圖（圖 6）顯示，16 日 16UTC 在台灣海峽北部之鋒區存在一微弱的對流雲，該雲系於 18UTC 開始加強並稍向東南移，19UTC 經過台灣北端達最強後轉向東移而減弱，於 17 日 00UTC 消散於台灣東北方海面。當此 MCS 移至西北角海面的同時（19UTC），

在該雲系之西方另有兩個小對流形成，此兩對流雲持續加強於 21UTC 合併且形成小逗點雲。經驗上，逗點雲為渦旋（vortex）雲的一種。該雲系繼續向東南東至東移動並加強，其前緣於 22UTC 抵桃竹苗地區而達最強期，17 日 00UTC 過境台灣北部於 02UTC 消散於東北方海面。

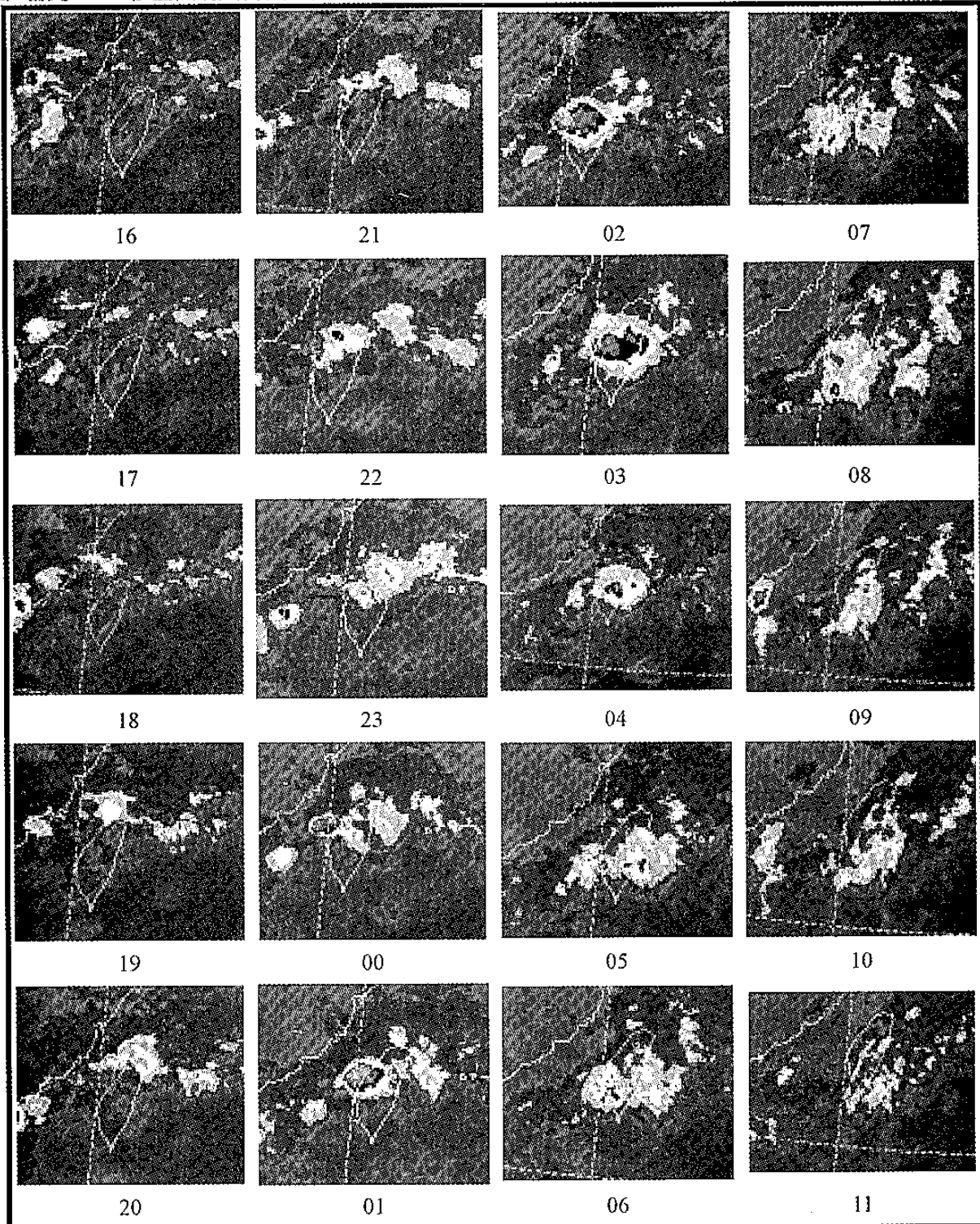


圖 6 1997 年 6 月 16 日 16UTC 至 17 日 11UTC 之逐時紅外線色調強化雲圖。

同樣地，在此 MCS 達最強時（22UTC）及之後的一小時，在其西南方之梧棲沿海及海峽中部分別有對

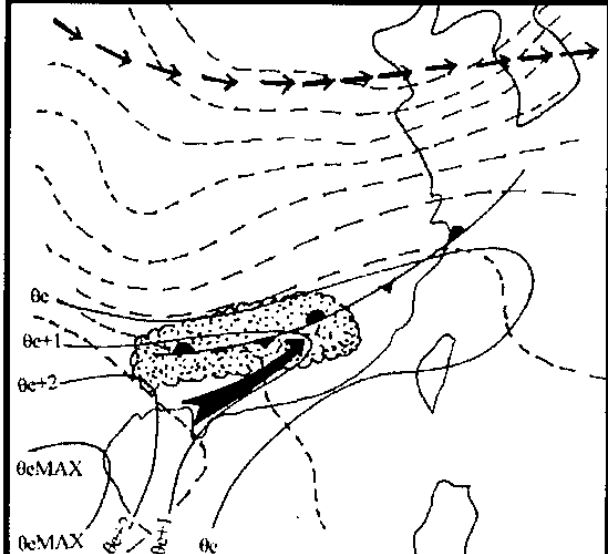
流形成。此等對流雲呈西北西-東南東排列，在最前者向東南移入中部山區而消散，而後兩者則合併而加強

於 02 至 03UTC 達成熟期並東移橫跨台灣中、南部，於 09UTC 消散於東南方海面。16 日 23UTC 在海峽中南部有一 MCS 存在並向東移動，於 17 日 00UTC 達最強後減弱，但一度再增強 (03UTC) 後減弱。然而，當它移到嘉南沿海時則再加強，之後向東南移至台東近海而消散。

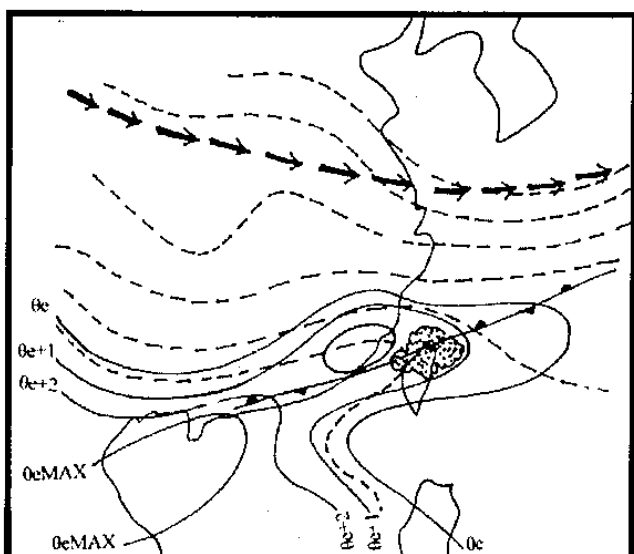
上述之 MCSs 除位在上述有利的環境區外，當梅

雨鋒移至海峽上空時，中尺度低壓沿著鋒面在海峽形成並隨著鋒面緩慢南移，由於該低壓之環流與鋒面和地形產生交互作用，使得該區的 MCSs 沿著鋒面加強和向上游發展。當 MCSs 移至台灣南部時，原來之 850hPa 之西北偏向流不明顯。上述之種種條件使得這些尺度不大的 MCSs 得以不快速減弱。

上述分析，在華南和台灣地區有向上游發展/或緩慢移動的概念模式如圖 7。



(a) 華南地區
MCSs : → : 高層噴流；——：等相當位溫線；—▲—：地面鋒面；---：1000-500hPa 等厚度線；→：低層噴流



(b) 台灣地區

圖 7 向上游發展/或緩慢移動的概念模式，(a) 華南地區和(b)台灣地區。

五、結論與建議

中尺度對流系統導致雨量之多寡視多尺度天氣系統的組織和結構，此種尺度從全球尺度（如 Bay of Bengal Connection）、綜觀尺度 (θ_e 脊軸和低層噴流)、中尺度（地形引發渦漩和外流邊界）至對流尺度（移動與發展和對流尺度交互作用）。本研究雖然有些成果，但導致劇烈對流降雨之各種尺度的特性必須再深入探討。

雖然衛星資料為唯一能顯示此種多尺度的天氣系統於一幅圖上，但卻無法清楚的解析各層的天氣特徵，因此結合傳統觀測建立豪（大）雨天氣型式的概念模式是必要且刻不容緩的。

本分析和國外的研究結果顯示，水氣雲圖在 MCSs 之形成和加強提供比紅外線雲圖更有利的資訊。因此應將此種資料融入豪雨/MCSs 研究，建立較完整的概念模式。

致謝

感謝中央氣象局氣象衛星中心林允才協助蒐集資料。本研究在國科會 NSC89-2625-Z-052-006 的支助下完成。

參考文獻

- 謝信良、林雨我、陳清得，溫嘉玉，1994：台灣地區梅雨季豪（大）雨預報研究成果作業化研究防災科技研究報告 82-0414-P052-01B, 93 頁。
- 謝信良，1996：嘉南地區定量降水預報整合型計畫一總計畫（二），國科會防災研究報告，NSC85-2621-P-052-002, 161 頁。
- Chi, S.S. and R.A. Scofield, 1991: Study on the mesoscale convective systems (MCSs) propagation characteristics over subtropical China during Taiwan Mei-Yu season. Intl. Conf. On Mesoscale Meteor. And TAMEX, Dec. 3-6, 1991, Taipei, ROC. 32-41.